

# İSTANBUL İÇİN DEPREM RİSKİ ANALİZİ

Semih Tezcan<sup>1</sup>, Yalçın Acar<sup>2</sup> ve Ahmet Çivi<sup>3</sup>

## ÖZET

İstanbul il sınırları içinde yapısal hasara meydan verebilecek şiddetli bir depremin episantrinin sadece Kuzey Anadolu fay hattı üzerinde yer alabileceği varsayılmıştır. Bu fay hattının İstanbul'a komşu olan 600 km'lik bir parçası üzerinde 1869 ve 1968 yılları arasındaki doksan dokuz sene içinde meydana gelen en şiddetli depremler göz önüne alınmış ve Gumbel'in yıllık ekstrem değerler metodu kullanılarak, 50 yıllık ekonomik ömrü olan normal bir yapı için % 15 yıllık risk ile beklenen en şiddetli depremin manyitüdü ve ayrıca İstanbul ili içinde kaya zeminlerde beklenen zemin ivmesinin maksimum değeri tahmin edilmiştir. Maksimum manyitüd ve maksimum zemin ivmesi tahminleri önemli yapılar ve nükleer santral gibi çok önemli yapılar için de yapılmıştır.

## GİRİŞ

### Toplanması gereken bilgiler

Herhangi bir bölgede gelecekteki şiddetli bir depremin manyitüdü, yer hareketinin ivmesi, süreci ve frekans içeriği gibi özelliklerini ihtimaller analizi yaparak tahmin edebilmek için başlıca beş hususta bilgi sahibi olmalıdır: 1) Bölgenin ve civarının sismotektonik yapısı ve özellikle deprem kaynağı olabilecek sismotektonik yörelerin tayini, 2) bölgeyi etkisi altına alabilecek depremlerin noktasal, çizgisel veya alansal nitelikte olabilen kaynaklardan hangisine ait olduğunu belirlemenmesi, 3) her sismotektonik yörenin sismik aktivitesinin tarihçesinin belirlenmesi, 4) noktasal, çizgisel veya alansal kaynaklardan orijinlenecek bir depremin episantirdaki yer ivmesinin yapının bulunduğu alana gelinceye kadar yapacağı yolculuk esnasında kaybedeceği (attenuation) değerin saptanması, 5) yapı ve civarının jeolojik karakteri, zemin özelliklerinin tayini ve yapının altındaki taban kayada oluşacağı tahmin edilen bir

<sup>1</sup> Prof.Dr., İnşaat Mühendisliği Bölümü, Boğaziçi Üniversitesi. Başkan Yardımcısı, Teknik, Yapı Merkezi A.Ş., İstanbul.

<sup>2</sup> Professor, State University of Lousiana, Baton Rouge, USA.

<sup>3</sup> Teknik Bölüm Başkanı, Yapı Merkezi A.Ş., İstanbul.

yer hareketinin yumuşak zemin tabakalarından geçerken büyütülmesi nedeni ile, yapı temeli hizasında serbest yüzeyde meydana gelebilecek yer hareketinin özelliklerinin saptanması.

Sismotektonik yöre (seismotectonic province) tabiri, jeolojik formasyon ve jeolojik yapı itibarı ile nisbeten değişiklik arzettmeyen bir karaktere sahip bir bölge için kullanılmaktadır.<sup>1</sup> Sismotektonik yörelerin belirlenmesi ile, deprem kaynaklarının noktasal, çizgisel veya alansal olarak saptanması arasında büyük bir ilişki vardır. Çünkü, bazı sismotektonik yöreler adeta nokta gibi belirli bir yöreye bazılıları bir fay hattı boyunca uzunca bir çizgiye, diğerleri ise genişçe bir alana tekabül ederler. İncelemeye konu olan yapının bulunduğu yeri etkisi altında bulundurabilecek depremler bazen bu üç çeşit kaynağın her üçünden, herhangi ikisinden veya sadece birinden kaynaklanabilir.

## İSTANBUL İLİ İÇİN YAPILAN KABULLER

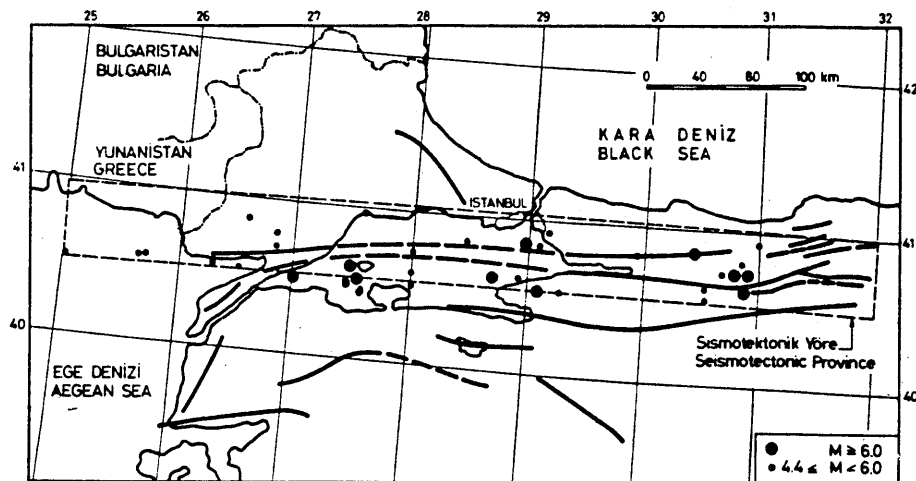
### Sismotektonik yöre

İstanbul ilini etkisi altına alabilecek şiddetli bir depremin kaynağının sadece çizgisel olduğu kabul edilmiştir. Bu çizgi Kuzey Anadolu fay hattının Marmara denizi ortasından geçen uzantısıdır. Çizgisel kaynak dışında, Romanya'daki Karpatlar bölgesi noktasal bir kaynak olarak ayrıca, Ege bölgesi depremleri de alansal bir kaynak olarak İstanbul'u etkisi altına alabilir. Ancak, Karpatlar veya Ege bölgesinde meydana gelebilecek en şiddetli ( $M = 8$ ) bir depremin bile İstanbul'daki yer ivmesi çok küçük olur. Karpatlar'dan kaynaklanacak orta sıklıkta bir depremin doğuracağı çok küçük ivmeli (takriben  $0.02g$ ) fakat büyük peryotlu (takriben  $T = 1.5$  ila  $T = 2$  san.) deprem dalgalarının yüksek binalarda yapacağı etkileri ayrıca göz önüne almak gereklidir. Bunun dışında, İstanbul ilinin deprem riski analizine sadece Kuzey Anadolu fay hattının çizgisel kaynağından orijinlenecek depremleri dahil etmek yeterlidir.

İstanbul için Sismotektonik Yöre olarak Şekil 1'de gösterilen,  $40.5^{\circ}\text{N}$  -  $41.0^{\circ}\text{N}$  enlemleri ile,  $25.0^{\circ}\text{E}$  -  $32.0^{\circ}\text{E}$  boylamları arasında kalan ve takriben  $55\text{ km} \times 500\text{ km}$  boyutlarında olan ince uzun bir şerit seçilmiştir.

### Sismik tarihçe

Kuzey Anadolu fay hattı boyunca meydana gelen depremler Türkiye'ye ait deprem kataloglarında mevcuttur [2,3,4]. İstanbul ilinin risk analizi için 1869-1968 yılları arasında kalan ve yukarıda adı geçen dar bir şerit içinde meydana gelen doksan dokuz senelik bir sismik tarihi peryot göz önüne alınmıştır (Tablo 1).



Şekil 1. İstanbul İçin Sismotektonik Yöre ve Episandr Haritası.

### GUMBEL-YILLIK EKSTREM DEĞERLER METODU

Deprem katalogları eski devirlere ait genellikle en şiddetli depremleri ihtiva ederler. Hatta, eski devirlere ait çoğu şiddetli depremler kataloglara girmemiş olabilir. Türkiye'de meydana gelen ve katalogda verilen depremlerin sayıları çeşitli tarihsel devirler için söyuledir:

<u>YILLAR</u>	<u>ADET</u>
1371 - 1470	9
1471 - 1570	14
1571 - 1670	26
1671 - 1770	55
1771 - 1870	145
1871 - 1970	2784

Bu örnektten de görüleceği üzere, katalogdaki deprem bilgileri eski devirlere doğru gidildikçe yetersiz ve eksik kalmaktadır. Halbuki, Türkiye'nin sismisitesi yüzyıllar boyunca sabit kalmıştır. Yer kabuğunun hareketlerinden ileri gelen depremlerin ortaya çıkardığı enerjinin miktarı bir yüzyıldan diğerine önemli ölçüde değişmez. Katalogdaki deprem adedinde, eski devirlere gidildikçe bir azalma olması sismik aktivitenin değiştiğine değil, katalog bilgilerinin eksik olduğuna bir işaret sayılmalıdır.

TABLO 1. İstanbul İçin Sismik Tarihçe (1869-1968).

Tarih		I <sub>0</sub>	Enlem		Boylam	h km	M
			N	E			
31	5	1869	7.0	40.60	28.00		5.76*
3	1	1870	6.0	40.50	28.50		5.17*
13	1	1871	6.0	40.60	28.190		5.17*
17	1	1872	6.0	40.80	29.00		5.17*
9	11	1873	7.0	40.50	25.60		5.76*
3	1	1874	6.0	40.80	28.40		5.17*
23	11	1875	6.0	40.70	28.00		5.17*
13	10	1877	8.0	40.60	27.40		6.35*
19	4	1878	8.0	40.80	29.00		6.35*
4	10	1881	6.0	41.00	26.70		5.17*
0	9	1887	6.0	40.80	29.10		5.17*
28	1	1893	7.0	40.50	52.60		5.76*
0	7	1894	9.0	40.60	28.70		6.94*
0	0	1897	6.0	40.60	30.50		5.17*
0	2	1900	5.0	40.89	26.54		4.58*
0	6	1902	5.0	40.98	27.50		4.58*
9	8	1912	10.0	40.50	27.00	60	7.75
0	9	1924	6.0	40.90	29.20		5.17*
0	12	1926	6.0	40.77	29.90		5.17*
0	1	1927	6.0	40.90	31.00		5.17*
3	5	1928	7.0	40.65	26.80		5.76*
4	1	1935	9.0	40.50	27.50		6.25
20	6	1943	9.0	40.80	30.40		6.25
5	4	1944	8.0	40.60	30.90		6.35*
24	10	1954	-	40.50	28.00		5.25
26	5	1957	9.5	40.67	30.86		7.11
2	4	1959	7.0	40.50	29.18		5.76*
28	3	1961	5.0	40.50	30.50		4.70
18	9	1963	8.0	40.50	29.10		5.91
11	4	1964	-	40.50	25.00	33	5.10
23	8	1965	-	40.50	26.20	33	5.10
30	12	1966	-	40.70	30.70	31	4.20
22	7	1967	10.0	40.70	30.80	4	7.20

I<sub>0</sub> = Episandrda deprem şiddeti

h = Odak derinliği

M = Richter mağnititüdü

\*M = 0.59I<sub>0</sub> + 1.63 bağıntısı ile hesaplanmıştır.

Hem katalogdaki bilgilerin eksikliğini gidermek hem de bir yıl içinde meydana gelen depremlerden en şiddetli olanından geri kalanlarının sonuçlara etkisini ortadan kaldırmak amacıyla, sadece yıllık en şiddetli depremin manyitüdünü esas alan bir ihtimaller hesabı geliştirilmiştir.

Gumbel [5] tarafından geliştirilen ekstrem değerler metoduna göre, yıllık maksimum şiddetli deprem manyitüdlerinin dağılımı

$$G(M) = e^{-\alpha e^{-\beta M}} \quad (1)$$

bağıntısı ile verilir. Burada,  $M$  = deprem manyitüdü,  $\alpha, \beta$  = regresyon katsayıları,  $G(M)$  = bir yılda manyitüdü  $M$ 'den büyük depremlerin aşılmama olasılığıdır.

Gutenberg-Richter [6] tarafından aynı amaçla deprem manyitüdü  $M$ 'yi bir yıldaki tüm depremlerin adedi  $N$ 'ye bağlayan

$$\log N = a - b M \quad (2)$$

formülü verilmiştir. Burada,  $a, b$  = regresyon katsayıları,  $N$  = manyitüdü  $M$  veya daha büyük olan depremlerin bir yıldaki sayısıdır. Bu iki bağıntı arasında aşağıdaki matematiksel ilişkiler mevcuttur:

$$\alpha = 10^a \quad (3)$$

$$\beta = b / \log e \quad (4)$$

$$a = \log \alpha \quad (5)$$

$$b = \beta \log e \quad (6)$$

$$N = \alpha e^{-\beta M} = -\ln G \quad (7)$$

Hesaplar birer yıl içindeki maksimum deprem yerine, kendilerini  $T_r$  yılda tekrarlayan depremler için yapılsaydı,  $T_r = 1$  yıl yerine,  $T_r$  yıl konulmalı idi. Sismik aktivitenin zaman içinde üniform yayılma varsayımlarından hareket ederek, manyitüdü  $M$  veya daha büyük depremlerin sayısı  $N$  için

$$N = T_r \alpha e^{-\beta M} \quad (8)$$

$$N = -\ln G = -\ln(e^{-\alpha T_r} e^{-\beta M}) \quad (9)$$

yazılır. Regresyon katsayılarını bulmak için, önce her yılda bir meydana gelen en şiddetli deprem manyitüdü saptanır. Daha sonra, Gumbel dağıtım sayılarını bulmak için depremler en küçük manyitüdden başlamak üzere gittikçe büyüyen sıraya dizilerek, herbirinin karşısına tekerrür sayıları, frekansları ve kümülatif Gumbel dağılımları yazılır. En küçük kareler metodu [8] kullanılarak log N değerleri ile M manyitüdlerini temsil eden doğru parçasının

$$\log N = a - bM \quad (2)$$

denklemine ait a ve b regresyon katsayıları hesaplanır. Manyitüdler x-ekseninde,  $\log N$  değerleri y-ekseninde alınırsa, bu koordinatların gösterdiği data noktalarından geçen en yakın doğru parçasının

$$y = a - mx$$

$$\log N = a - bM$$

denklemlerindeki a ve b katsayıları en küçük kareler metodu ile tayin edilir.

## GUMBEL METODUNUN İSTANBUL İLİNE UYGULANMASI

İstanbul sismotektonik yöresi ve son doksan dokuz yıllık süre için maksimum yıllık deprem manyitüdleri Tablo 2'de gösterilmiştir. Tablo 1'de yanlarında yıldız işaretini bulunan manyitüdler aletsel veriler bulunmadığından

$$M = 0.59 I_0 + 1.63 \quad (10)$$

empirik formülünden hesaplanmıştır.

İstanbul için yıllık maksimum manyitüdler ile, yukarıda açıklandığı şekilde hesaplanan Gumbel dağıtım sayıları ve  $\log N$  değerleri Tablo 3'de gösterilmiştir. Bu tablodan görüleceği üzere onbeş farklı manyitüd değeri için onbeş noktadan geçen doğru parçasının denklemi, en küçük kareler metoduna göre tayin edilmiştir. Data noktaları ile, geçirilen doğru parçası Şekil 2'de gösterilmiştir. Regresyon katsayıları için  $a = 2.26$ ,  $b = 0.546$  ve regresyon uyumluluk parametresi  $r = \% 94$  olarak hesaplanmıştır. Gumbel regresyon katsayıları için, yukarıda verilen ifadeler yardımı ile

$$\alpha = 10^a = 10^{2.26} = 182 \quad \text{ve} \quad \beta = b/\log e = 1.26$$

elde edilir. O halde, İstanbul ili için deprem manyitüdlerinin dağılımları

$$G = e^{-\alpha e^{-BM}} = e^{-182e^{-1.26M}}$$

$$\log N = 2.26 - 0.546M$$

bağıntısına tabidir. Bu dağılımlar, bir yıllık baz süre içindir.

TABLO 2. Yıllık Maksimum Manyitüdler.

YIL	Mmax	YIL	Mmax	YIL	Mmax
1869	5.76	1893	5.76	1943	6.25
1870	5.17	1894	6.94	1944	6.35
1871	5.17	1897	5.17	1954	5.25
1872	5.17	1900	4.58	1957	7.11
1873	5.76	1902	4.58	1959	5.76
1874	5.17	1912	7.75	1961	4.70
1875	5.17	1924	5.17	1963	5.91
1877	6.35	1926	5.17	1964	5.10
1878	6.35	1927	5.17	1965	5.10
1881	5.17	1928	5.76	1966	4.20
1887	5.17	1935	6.25	1967	7.20

Not: Deprem bulunmayan yıllar için  $M_{min} = 4.40$  kabul edilmiştir.

### YER İVMESİİNİN UZAKLIKLA DEĞİŞİMİ

Yer ivmesinin mesafe ile nasıl azaldığını saptayabilmek için Tablo 4'de gösterildiği gibi literatürde çeşitli empirik formüller verilmiştir. Bu empirik formüller birbirlerinden çok farklı sonuçlar verir. Genellikle, Amerika Birleşik Devletleri, Japonya ve Meksika depremleri için önerilmiş olan bu empirik ivme-mesafe formüllerinin, Türkiye depremlerine de geçerli olabileceğini iddia etmek güçtür.

Ayrıca zemin şartlarını ve zemin büyültmesini içine katan empirik formüller gereğinden fazla muhafazakardır. İvme-zaman bağıntısının tayininde en gerçekçi davranış, deprem dalgalarının önce kaya içinde yayılması esnasında ugrayacağı kayıpları araştırmak, daha sonra yapı altındaki taban kayadan serbest zemin yüzüne kadar geçen yumuşak zemin ortamında dalgaların varsa büyütme analizini saptamaktır.

Deprem dalgalarının kaya içindeki ivme-mesafe ilişkileri Kaliforniya, A.B.D. eyaletindeki depremler için gerçek sismik kayıtlara dayanılarak Gutenberg-Richter<sup>5</sup> ve özellikle Schnabel, Seed<sup>7</sup> tarafından tayin edilmiş ve bu çalışmalara ait normalize edilmiş eğriler Şekil 3 ve 4'de verilmiştir.

Tablo 3. İstanbul İçin Gumbel Yıllık Maksimum Dağılımı Hesapları  
(1869-1968).

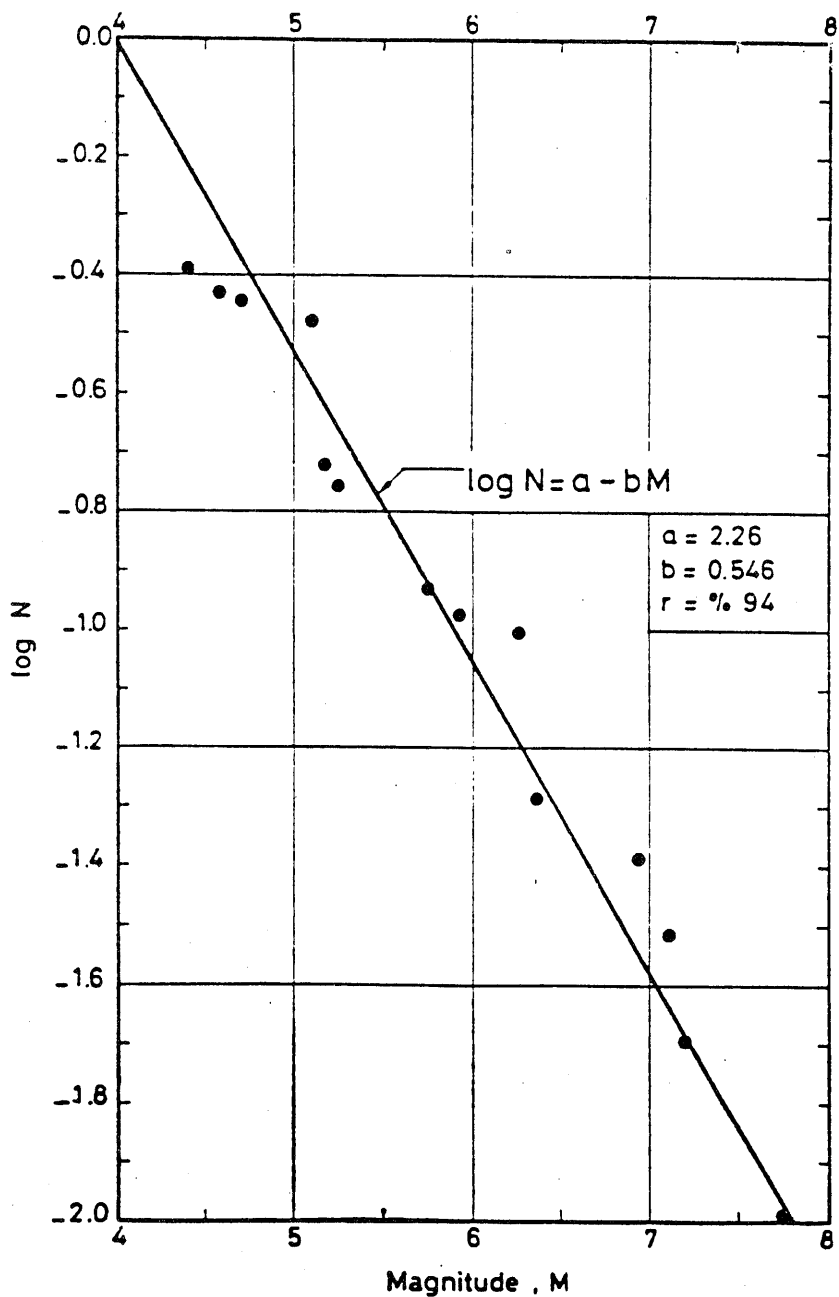
M	j	$f=j / (n+1)$	G(M)	N=-Ln G	logN
4.20	1	0.01	0.01	4.6052	+0.663
4.40	66	0.66	0.67	0.4005	-0.397
4.58	2	0.02	0.69	0.3710	-0.430
4.70	1	0.01	0.70	0.3567	-0.447
5.10	2	0.02	0.72	0.3285	-0.484
5.17	11	0.11	0.83	0.1863	-0.729
5.25	1	0.01	0.84	0.1743	-0.758
5.76	5	0.05	0.89	0.1165	-0.933
5.91	1	0.01	0.90	0.1054	-0.977
6.25	2	0.02	0.92	0.0834	-1.078
6.35	3	0.03	0.95	0.0513	-1.289
6.94	1	0.01	0.96	0.0408	-1.389
7.11	1	0.01	0.97	0.0304	-1.516
7.20	1	0.01	0.98	0.0202	-1.694
7.75	1	0.01	0.99	0.0100	-1.997

Not:  $a=2.26$ ,  $b=0.546$ ,  $r=%94$

$$\log N = a - bM = 2.26 - 0.546M$$

Kaya içinde ivmenin uzaklıkla değişimi bu eğrilerle bulunduktan sonra, yapı altında taban kayadaki ivmenin zemin yüzüne çıkışına kadar uğrayacağı değişiklik, dalga denklemleri kullanılarak zemin büyütme analizleri yardımı ile ayrıca tayin edilmelidir<sup>9</sup>.

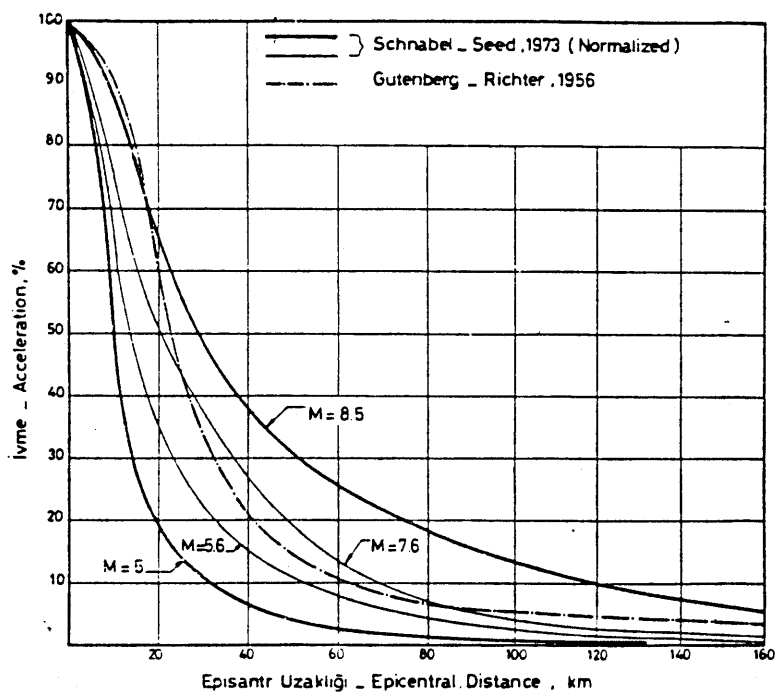
Bu çalışmada, ivmenin sadece kaya içindeki azalışı göz önüne alınmış, ivmenin yumuşak zemin içindeki değişimini incelemeye yarayan dalga analizine yer verilmemiştir. Çünkü, dalga analizi yolu ile zemin büyütmesinin tayin edilmesi bu makalenin konusu dışındadır ve ayrıca İstanbul'da zemin durumu genellikle taban kaya tarifine girer ve kayma dalgası hızı 700 m/sn.'nin üstündedir. Kayma dalgası hızının 700 m/sn.'den daha düşük olduğu zeminlerde, ayrıca bir zemin büyütme analizi yapılması gereklidir.



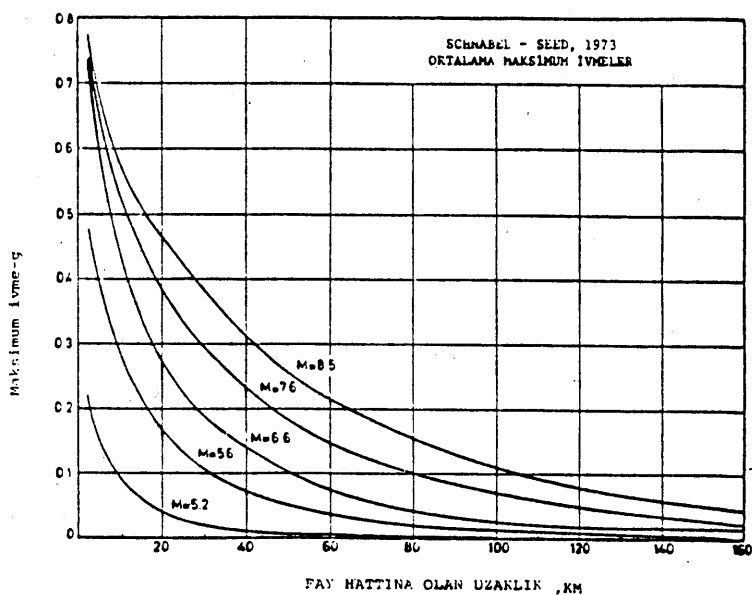
Şekil 2. Manyitüd - Log N Bağıntısı

Tablo 4. Maksimum Zemin İvmesinin Uzaklıklı Değişimi için Amprik Formüller

AMPRİK FORMÜLLER <sup>1</sup>	NOT	YAZAR	ÖRNEK <sup>2</sup>
$\log a_0 = -2.1 + 0.81M - 0.027M^2$	Uzaklık ile değişim Şekil 3'de verilmiştir.	Gutenberg, 1956	$a_0 = 177$ $a = 96$
$\log a_0 = -b + 0.81M - 0.027M^2$ $b = -1.59 + 2.47 \log(\rho v_i) - 0.41 \log'(\rho v_i)$ $a = a_0 / (1 + (D/h)^{1.5})$	$b = 2.0$ Kryta $b = 1.2$ yarımışak zemin $\rho = \gamma/g$ $\gamma = \text{ton/m}^3$ $v_i = \text{m/sn}$	Blume, 1956	$a_0 = 218$ $a = 79$ $(b = 2)$
$\log a = \log(5/\sqrt{T}) + 0.61M - P \log R + Q$ $P = 1.66 + 3.6/R$ ; $Q = 0.167 - 1.83/R$	$T = \text{Zemin hâkim}$ periyodu	Kanal, 1966	$a = 816$ $T = 0.30$
$\log v = 0.61M - P \log R - 0.631 - 1.83/R$ $a = 20v$	Nükleer Santraller için tavsiye edilmiştir.	Kanal, 1966	$v = 14$ $a = 285$
$a = 6.77 e^{0.04v} (1.1e^{1.04} + D')$	—	Milne-Davenport, 1969	$a = 231$
$a = 1230 e^{0.04v} / (R + 25)^2$	—	Esterba, 1970	$a = 164$
$a = 1080 e^{0.04v} / (R + 25)^{1.7}$	—	Donovan, 1973	$a = 235$
$a = 4.68 \times 10^{v-1} / (h + 7.2 \times 10^{v-1})P$ $\ln P = 0.26 (D/h)^{1.5}$	Udine, İtalya'da verilen bir tehlükeden	Krishna, 1977	$a = 419$
<sup>1</sup> D = Episantr mesafesi , km (< 10 km) R = Hiposantr mesafesi , km h = Odak derinliği , km a = Maksimum ivme , cm/sn <sup>2</sup> v = Maksimum Hız , cm/sn		<sup>2</sup> D = 20 km R = 20 km h = 15 km M = 7	



Şekil 3. Kayada İvme-Mesafe Eğrileri.



Şekil 4. Kayada İvme-Mesafe Eğrileri.

## İSTANBUL İÇİN ÇEŞİTLİ İHTİMALLERİN HESABI

1. Yıllık maksimum manyitüdlerin ortalaması

$$\bar{M} = M_{\min} + 1/\beta = 4.20 + 1/1.26 = 4.99 \quad (11)$$

2. En sık vuku bulan yıllık manyitüd

$$\bar{M}_{\max} = \ln \alpha/\beta = \ln 182/1.26 = 4.13 \quad (12)$$

dür. Bu değere "modal maksimum" denir. Bu manyitüdün tekrarlama peryodu bir yıldır. Modal maksimum manyitüdün değerini bir yıllık baz süre içindeki deprem sayısını veren

$$\log N = 2.26 - 0.546M$$

denkleminde  $N=1$  koymak sureti ile de bulabiliriz:

$$\bar{M}_{\max} = a/b = 2.26/0.546 = 4.13$$

3. İncelemeye konu olan sismik tarihçe  $T_r=99$  yıl içinde meydana gelebilecek maksimum manyitüd, daha başka bir deyimle, tekrarlama peryodu  $T_r=99$  yıl olan manyitüd

$$\log N = a - bM + \log T_r \quad (13)$$

bağıntısında  $N=1$  konularak

$$\bar{M}_{\max} = \frac{a + \log T_r}{b} = \frac{4.26}{0.546} = 7.79$$

olarak bulunur. Gutenberg-Richter ihtimaler hesabı, 99 yıllık bir süre içinde meydana gelebilecek maksimum depremin manyitüdünü  $M=7.79$  olarak vermektedir. Gerçekten, 1869-1968 yılları arasında, incelemeye konu olan bölgede meydana gelen en büyük manyitüd kataloğa göre, 9 Ağustos 1912 tarihli ve  $M=7.75$  manyitüdlü Mürefte-Şarköy depremidir. Görülüyor ki, ihtimaler hesabı ile gerçek olay arasında çok büyük bir yaklaşım ve uyuşum mevcuttur.

4. Yapı ekonomik ömrü bir yıl kabul edilirse, herhangi bir  $M$  veya daha büyük manyitüdlü bir depremin herhangi bir yıl içinde meydana gelebilme ihtimaline, o manyitüde ait "Yıllık Risk" denir ve  $R$  ile gösterilir. Dolayısı ile,  $R$  değeri, seçilen  $M$  manyitünde veya daha

büyük bir depremin bir yıl içinde aşılabilme ihtimalidir. Yıllık risk, Gumbel dağılımının 1'den olan farkıdır ve

$$R = 1 - G = 1 - e^{-\alpha e^{-\beta M}} \quad (14)$$

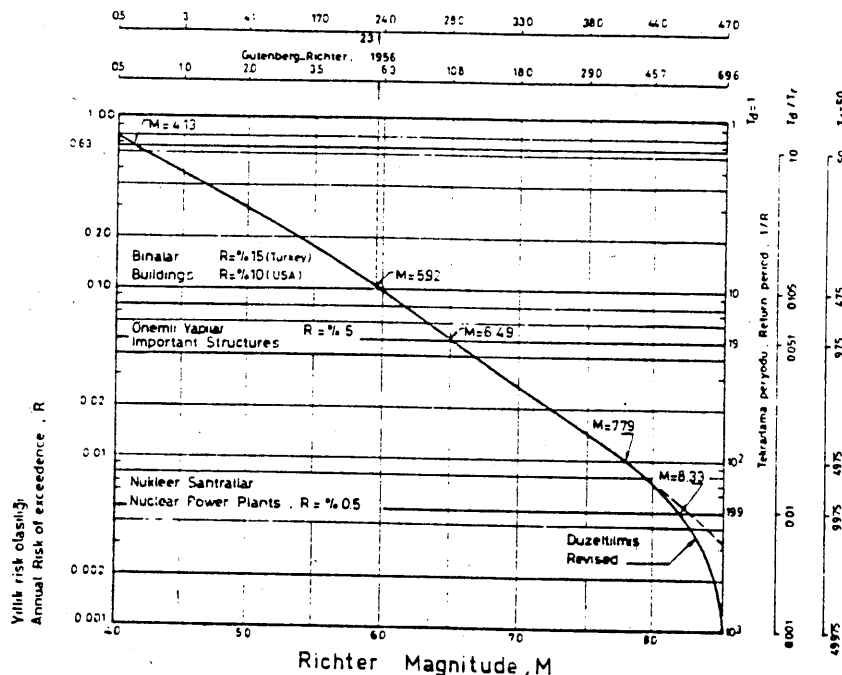
formülünden bulunur. Yıllık riskin tersi depremin tekrarlama peryodu olan

$$T_r = \frac{1}{R} \quad (15)$$

değerini verir. Yıllık riskin değeri R biliniyorken o riske tekabül eden manyitüdün değeri

$$M = \frac{1}{\beta} \ln \left[ \frac{\alpha}{-\ln(1-R)} \right] \quad (16)$$

ifadelerinden bulunabilir. Örneğin, yıllık riski  $R=1\%$  olan manyitüdün değeri  $M=7.78$  ve bu manyitüdün tekrarlama peryodu  $T_r = 1/0.01 = 100$  yıldır. Yıllık riski  $R=63\%$  olan manyitüdün değeri  $M=4.13$  ve tekrarlama peryodu  $T_r=1.59$  yıldır. Yıllık risk ve manyitüd değerleri Şekil 5'de grafik olarak gösterilmistir.



Şekil 5. Manyitüd-Risk İlişkisi.

Normal binalarda ve önemsiz yapılarda, yıllık risk  $R=0.10$  ila  $R=0.15$  alınır. Amerika Birleşik Devletleri'ndeki uygulamada  $R=0.10$  alınmaktadır [10]. Ancak,  $R=0.10$  olarak yapılan deprem hesaplarının, yönetmeliklerde öngörülen yatay yüklerle göre daha muhafazakar olduğu anlaşılmıştır. Deprem yönetmelikleri ile uyuşum sağlayabilmek amacıyla ile normal yapılarda yıllık risk miktarının bu tebliğ ile  $R=0.15$  alınması önerilmektedir.

Elektrik Santralları, postane, hastane, okul, yanın binası, su deposu, baraj ve benzeri kamu yaştısı ile ilgili önemli yapılarda yıllık riskin  $R=0.05$ , nükleer santral gibi radyasyon ihtimali bulunan çok önemli yapılarda ise riskin  $R=0.005$  alınması önerilmektedir. İstanbul ilinde, inşa edilecek normal yapılar ( $R=%10$ ), önemli yapılar ( $R=%5$ ) ve nükleer santrallar ( $R=%0.5$ ) için deprem manyitüdünün değerleri Denklem 16'dan sırası ile,  $M=5.92$ ,  $M=6.49$  ve  $M=8.33$  olarak hesaplanır.

5.Tekrarlama peryodu  $T_r$  yıl olan bir depremin  $T_r$  yıl içindeki sayısı  $N=1$  olacağından

$$N = \alpha T_r e^{-\beta M} \quad (17)$$

ifadesinde  $N=1$  konursa

$$\alpha T_r = e^{\beta M} \quad (18)$$

$$M_{\max} = \frac{\ln \alpha T_r}{\beta} \quad (19)$$

yazılır. Aynı şekilde, ekonomik ömrü  $T_d$  yıl olan bir yapının ömrü süresince meydana gelebilecek  $M$  manyitüdü veya daha büyük depremlerin meydana gelme ihtimalini veren

$$R = 1 - e^{-\alpha T_d} e^{-\beta M} \quad (20)$$

bağıntısında,  $e^{\beta M} = \alpha T_r$  konursa, yıllık risk değeri ile, yapının ekonomik ömrü ve maksimum depremin tekrarlanma peryodu arasındaki

$$R = 1 - e^{-T_d/T_r} \quad (21)$$

bağıntısı bulunur. Burada,  $1/T_r$  yerine yıllık risk  $R_1$  konulursa,  $T_d$  yıl ekonomik ömrür için  $R_d$  riski

$$R_d = 1 - e^{-T_d R_1} \quad (22)$$

olarak yazılır. Aynı ifadeyi,  $e$  sayısını seriye açmak  $R_1$ 'in ikinci ve yüksek dereceden terimlerini ihmal etmek suretiyle aşağıdaki şekilde yazmak kabildir:

$$e^x = 1 + x + \frac{x^2}{2!} + \dots \quad (23)$$

$$R_d = 1 - (1 - R_1)^{T_d} \quad (24)$$

Örneğin, herhangi bir manyitüdün bir yıl içinde aşılma olasılığı olarak tarif edilen yıllık risk  $R_1 = 0.005$  ise,  $T_d = 50$  yıllık yapı ömrü süresince, aynı manyitüdün en az bir defa aşılma olasılığı, Denklem 24 yardımı ile,

$$R_d = 1 - (1 - 0.005)^{50} = 0.2217$$

$R_d = \%22$  bulunur. Normal binalarda, yıllık risk  $R_1 = \%15$  alınırsa,  $T_d = 50$  yıllık yapı ekonomik ömrü süresince,  $M = 5.57$  manyitüdü bir depremin en az bir kere aşılma olasılığı  $R_d = \%99$ 'dur. Bir depremin herhangi bir yıl içinde en az bir kere aşılma olasılığı ile aynı depremin  $T_d = 30, 50$  ve  $100$  yıllık birer süre içinde en az birer kere aşılma olasılıkları Denklem 24'den hesaplanmış ve Tablo 5'de özetlenmiş ve ayrıca Şekil 6'da grafik olarak gösterilmiştir.

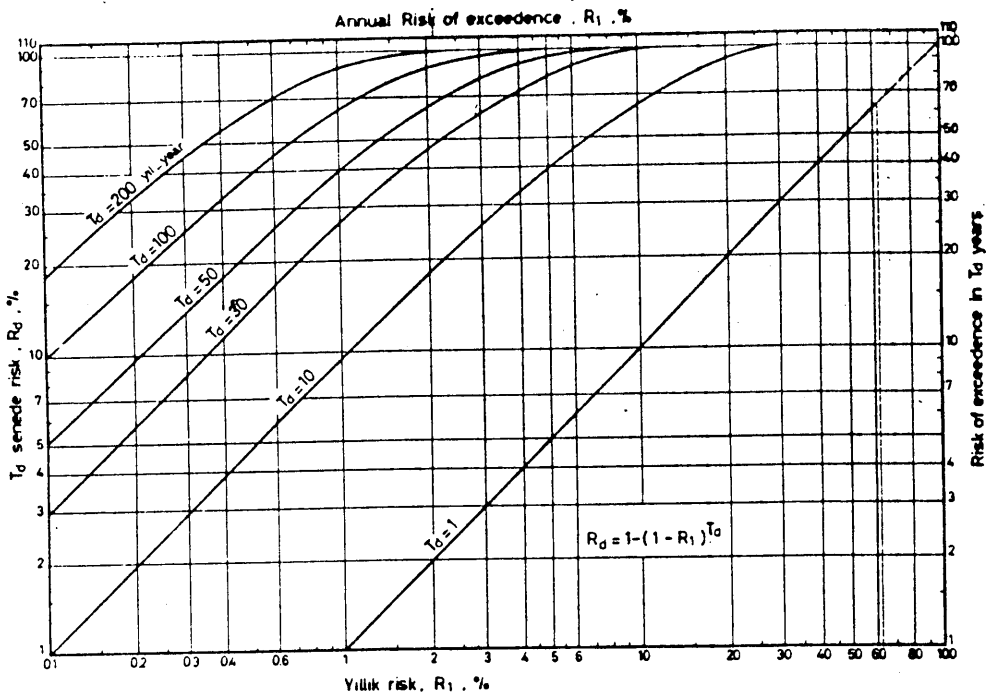
Tablo 5. Yapı Ömrü Süresinde Risk Değerleri.

1 YIL	30 YIL	50 YIL	100 YIL
0.001	0.029	0.048	0.095
0.005	0.140	0.221	0.394
0.010	0.260	0.395	0.634
0.050	0.785	0.923	0.994
0.100	0.958	0.999	1.000
0.150	0.992	0.999	1.000
0.300	0.999	1.000	1.000
0.632	1.000	1.000	1.000
1.000	1.000	1.000	1.000

Yapı ekonomik ömrü  $T_d$  biliniyorken, maksimum tekrarlama peryodu  $T_r$ , Denklem 21'den

$$T_r = \frac{-T_d}{\ln(1 - R_1)} \quad (25)$$

olarak elde edilir. Yıllık riski  $R_1 = 0.005$  olan bir depremin  $T_d = 50$  yıllık yapı ömrüne tekabül eden tekrarlama peryodu, Denklem 25'den,  $T_r = 9975$  yıl hesaplanır.



Şekil 6.Yıllık ve Uzun Süreli Risk İlişkileri

Ceşitli yıllık risk değerleri için hesaplanan deprem manyitüdleri ile, bu manyitüdlerin seçilen çeşitli yapı ekonomik ömrü için tekabül ettikleri tekrarlama peryotları Tablo 6'da gösterilmiştir. Bu tablodan görüleceği üzere, ekonomik ömrü  $T_d = 50$  yıl olan bir yapının maruz kalabileceği deprem manyitüdünün  $M=5.57$  veya daha fazla olması ihtimali  $R=%15$  dir ve bu depremin kendisini tekrarlama peryodu  $T_r = 308$  yıldır. İstanbul ili içinde bir nükleer santral inşa edilecek olsa, bu santralin  $T_d = 50$  yıllık ekonomik ömrü süresinde, maruz kalabileceği en büyük depremin  $M= 8.33$  manyitüdün aşılma olasılığı  $R= \% 0.5$  ve böyle bir depremin tekrarlama peryodu  $T_r = 9975$  yıldır.

6.Istanbul ilini etkisi altına alabilecek sismotektonik yörenin, İstanbul ili yerleşme alanlarına ait ağırlık merkezine olan uzaklığı ortalaması  $d = 20$  km olarak kabul edilebilir (Şekil 1). Kaya zeminlerde ve episantardan uzaklığı 20 km olan bir yerde, çeşitli manyitüdü depremlerin ortalamama maksimum ivmelerinin ne olacağı Schnabel ve Seed [7] tarafından eğriler halinde verilmiştir. Ayrıca, episantır bölgesindende, depremin maksimum yer ivmesi  $a_0$  için Gutenberg-Richter [6] tarafından

Tablo 6. İstanbul için Risk, Manyitüd ve Yapı Ömrü Değerleri (1869-1968)

YAPI CİNSİ	R %	M	T <sub>r</sub> = Deprem Tekrarlama Feryodu			
			1 YIL	30 YIL	50 YIL	100 YIL
KULLANILMAZ	63.2	4.13	1.0	30	50	100
	30	4.95	2.8	84	140	280
	20	5.32	4.5	134	224	448
NORMAL YAPILARI <sup>a</sup>	15	6.67	6.1	185	308	615
NORMAL YAPILARI <sup>b</sup>	10	5.92	9.5	285	475	950
ONEMLI YAILLAR						
	5	6.49	10.5	585	975	1950
	2	7.23	10.5	1485	2475	4950
	1	7.78	10.5	2985	4875	9950
NÜKLEER SANTRALLAR	0.5	8.33	10.5	5085	9975	19950

<sup>a</sup> Türkiye İstat. Bürosu

<sup>b</sup> A.B.D. İstat. Büroları editen olan

R = Yıllık risk

M = Richter manyitüdü

T<sub>r</sub> = Yapı ekone ömrü

Tablo 7. İstanbul için Deprem Riski Analizi sonuçları

YAPI ÇİNSLERİ	YILLIK RISK <sup>(1)</sup>	MANYÜTTÜ <sup>(1)</sup> M	YER İVME'Sİ		ÖNERİLEN MAKŞİTİM ÜMİYE		
			Schnabel Seed, 1973	Gutenberg Richter, 1956	Kaya Yüzeyde	Kayada	Taban Zeminde
NORMAL YAPILAR	% 15	5.57	0.17g	0.04g	0.17g	0.08g	Dalgıç Analizi
(A.B.D. kabüllerine göre)	% 10	5.02	0.23g	0.06g	0.23g	0.11g	
ONEMLİ YAPILAR	% 5	6.49	0.26g	0.11g	0.26g	0.13g	Dalgıç Analizi
NÜKLEER SANTRALLAR	% 0.5	8.33	0.46g	0.57g	0.45g	0.23g	Dalgıç Analizi

<sup>(1)</sup> R = M veya daha büyük manyüttüdili bir depremin yapı ekonomik ömrü içinde yer alma ihtiyacını.

$$\log a_0 = -2.1 + 0.81 M - 0.027 M$$

ampirik formülü verilmiştir. Her iki cins bilgiye dayanılarak bulunan maksimum ivmelerin değerleri Şekil 5'in üst ekseninde gösterilmiştir. Bu ivmeler, kaya zemin (kayma dalgası hızı 700 m/saniye'den büyük olan bir zemin) için geçerlidir. Yumuşak zeminler için usulüne göre zemin ivme büyültme analizleri yapılarak taban kayada kabul edilecek bir ivmenin zemin yüzeyine ne miktarda yansıyacağı saptanmalıdır [11,12] İstanbul ilinde inşa edilecek yapılar için kabul edilecek deprem manyitüdleri ve maksimum yer ivmeleri topluca Tablo 7'de özetlenmiştir. Taban kayadaki ivmeler, fizikte dalga yansıma prensibine göre, serbest yüzeydeki ivmelerin yarısı olarak alınmıştır.

## İVME DAVRANIŞ SPEKTRUMU

### A. Katayama metodu ile:

İstanbul bölgesinde yıllık deprem riski, diğer bir deyimle ivmenin bir yıl içinde aşılma olasılığı, % 15 olan bir depremin kaya zemin yüzeyindeki en büyük ivmesi 0.17g olarak tahmin edilmiştir. Manyitüd bilinen bir depremin ivme davranış spektrum eğrisi için Katayama ve arkadaşları [13] tarafından

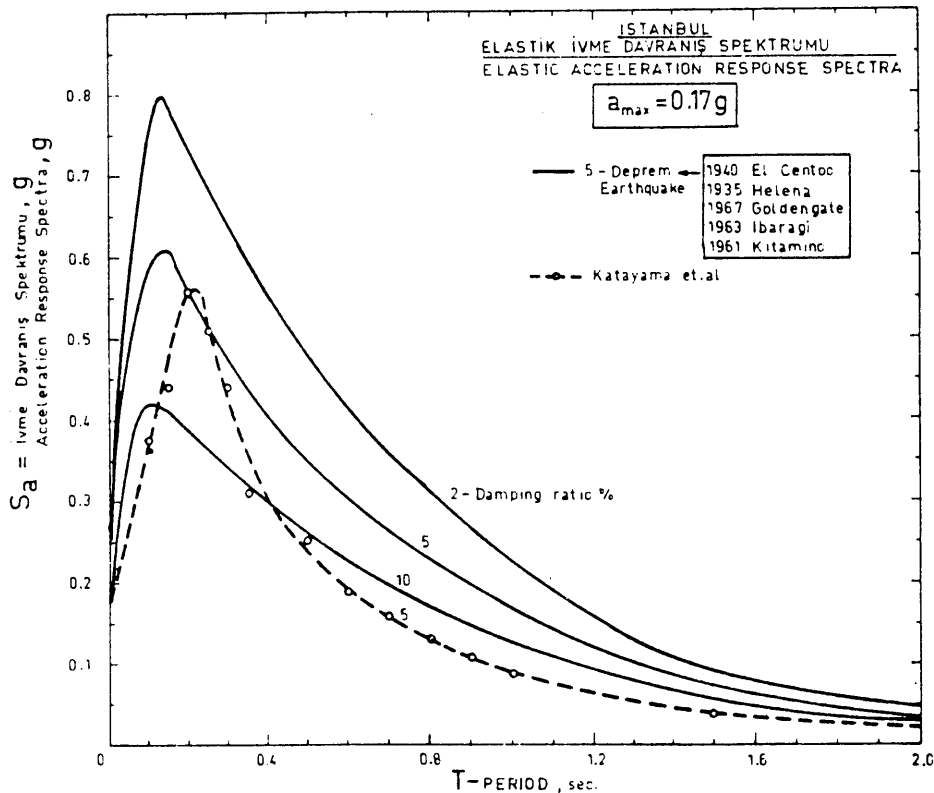
$$S_a = \alpha f_m f_d f_s \quad (26)$$

bağıntısı verilmektedir. Burada,  $S_a$  = ivme davranış spektrumu,  $\alpha$  = ortalama değerlerinin aşılma olasılığına bağlı katsayı,  $f_m$  = manyitüde bağlı bir faktör,  $f_d$  = deprem odağına uzaklık faktörü,  $f_s$  = zemin cinsi faktöründür. Bu faktörler, her titreşim peryodu ve % 5 sönüüm yüzdesi için tablolar halinde verilmiştir. Tabloların hesaplanması, çeşitli manyitüdlerde olan ve çeşitli zemin şartlarında kaydedilen 277 adet deprem kaydının spektrum eğrileri gözönüne alınmıştır. İstatistik değerlerin % 15 aşılma olasılığı için (normal yapılarda yıllık deprem riski % 15 alındığı için, tutarlılık sağlamak amacıyla ile, burada da aynı aşılma olasılığı kabul edilmiştir) Katayama tabloları  $\alpha = 2.12$  vermektedir. Kaya zemin cinsi için  $f_s$  faktörü, odak uzaklışı  $d = 6$  ila 19 km için  $f_d$  faktörü ve manyitüd aralığı  $M = 5.4$  ila 6.0 için  $f_m$  faktörleri, çeşitli titreşim peryotları için Katayama tablolarından okunmuş ve ivme spektrumu Denklem 26'dan hesaplanarak grafik halinde Şekil 7'de gösterilmiştir.

### B. Benzeşim yolu ile :

Kaya gibi çok sert zeminlerde kaydedilen depremlere ait spektrumlar yardımcı ile, İstanbul'da kaya zemin üzerinde beklenecek şiddetli bir depremin spektrumunu tahmin etmek kabildir. Bu amaçla, Kaliforniya'daki 1940 El Centro, 1935 Helena ve 1957 Goldengate depremleri ile Japonya'daki 1963 İboragi ve 1961 Kitamino

depremlerinin ivme spektrumlarının zarf eğrisine tekabül ettiği için, bu metodla bulunan ivme davranış spektrumu, yukarıda Katayama metodu ile bulunan ivme davranış spektrumuna nazaran daha muhafazakardır. Bu nedenle, normal yapılarda Katayama metodu ile bulunan ivme davranış spektrumunu kullanmak daha gerçekçi bir tutum olacaktır. Ancak, önemli olan bir husus bu spektrumların elastik davranış için geçerli olduklarıdır. Elasto-plastik davranış halı için bu spektrumdan bulunan değerleri düktilite sayısına bölmek lazımdır.



Şekil 7. İstanbul'da normal binalarda davranış spektrumu

## SUNİ DEPREM KAYDI

Şekil 7'de verilen ve Katayama metodu ile bulunan spektrum tekabül eden ve maksimum ivmesi  $0.17\text{g}$  olan bir depremin suni ivme kaydı, ters Fourier transform metodu [14,15] ile bulunmuştur. Bu ivme değerlerinden hesaplanan davranış spektrum ivmesi karşılaştırma amacıyla noktalı çizgilerle Şekil 7'de gösterilmiştir.

TABLE 8- İstanbul'da Beklenen-Bir Depremin Suni İyileşme Katsayı

( At $\pm 0.02$ sn)									
-1.063	-0.32	1.819	2.106	2.162	2.079	2.450	6.469	1.507	
-5.553	7.084	-4.016	-0.448	-1.786	16.910	-9.371	-9.802	-9.931	-9.86
-10.289	-12.942	-3.19	16.510	27.916	16.118	-18.436	8.246	-29.261	-41.188
-13.758	-17.790	-1.159	-17.940	-1.170	29.350	-8.316	27.161	-21.832	-16.390
-26.303	38.276	37.039	42.429	73.918	16.579	-29.205	-67.213	-60.000	-5.253
44.409	44.117	42.429	73.918	22.950	17.650	-46.816	-79.922	-66.874	
-21.086	41.158	66.199	71.920	59.252	60.268	31.070	-3.599	-29.701	-11.740
-8.450	-8.400	-10.64	-5.53	-80.508	11.024	125.720	41.912	121.806	101.510
-8.830	-27.524	-98.010	-52.007	-17.769	21.712	-74.718	-10.290	-1.345	-5.259
-10.659	120.138	37.631	1.018	24.160	-28.980	-18.554	-14.082	-51.235	-37.860
-6.010	-4.212	-12.220	1.660	87.474	5.185	30.7	37.318	-77.680	41.088
-12.481	-22.460	-32.720	-11.1	27.523	67.806	25.168	125.132	-20.964	-46.390
16.027	45.645	-10.199	-23.912	-5.568	-58.977	-54.328	-16.495	-90.823	-51.823
-70.314	-23.129	50.063	-43.34	-19.866	58.350	25.553	-14.550	-32.681	-51.818
-78.393	51.401	-10.830	-24.731	-10.158	-11.024	-10.290	-1.345	-51.235	-37.860
77.017	86.910	166.048	76.693	-43.066	-67.061	30.748	-10.290	-1.345	-51.235
-98.763	-58.866	12.326	30.121	40.490	32.674	67.019	-63.910	-86.559	-106.454
-97.093	-12.231	109.901	152.964	146.992	104.938	45.510	-102.457	-102.457	-102.457
-91.184	-64.812	-33.115	18.360	-65.325	-54.067	-75.817	-32.079	-95.409	-51.311
-21.750	162.120	88.500	-43.050	-10.031	10.226	-57.571	10.016	9.252	-37.920
55.027	89.051	119.746	32.673	11.005	-16.443	-69.606	-11.900	39.554	50.646
76.166	-3.227	50.836	82.570	-20.915	-14.250	-126.620	-110.803	-110.803	1.754
-43.294	-83.708	-22.265	55.160	-32.318	26.250	54.820	18.247	18.247	46.032
-60.157	23.670	10.901	42.603	-45.700	55.039	69.176	1.259	-13.134	-56.630
-97.091	38.001	-19.820	75.809	77.982	63.078	2.076	69.560	16.037	17.265
-134.304	-90.638	77.162	32.614	11.932	10.690	34.103	64.909	16.874	-9.382
-22.766	92.025	35.714	-10.120	12.468	-9.6.988	-59.723	-10.466	-55.061	-61.026
-49.062	43.300	79.981	83.765	27.476	-17.980	73.562	-20.656	-20.656	-20.656
6.302	66.278	-153.912	-20.394	-17.946	-62.968	1.562	-1.510	-6.661	-20.177
b.993	30.276	-4.047	-50.565	32.162	102.910	5.890	13.422	9.946	12.637
-79.332	-14.607	-60.425	17.540	102.161	78.682	6.503	66.945	25.362	-7.616
47.762	-6.900	-24.371	-20.358	-25.742	11.069	-72.206	-21.983	16.312	-61.000
-60.349	18.301	1.006	30.111	75.216	10.019	49.516	-3.520	-32.459	-20.355
-141.349	50.015	28.192	-22.860	-34.385	-66.080	34.291	-25.057	76.436	27.233
-31.129	-12.695	-20.101	-12.695	-16.430	-26.337	-21.494	18.562	10.400	59.882
-55.137	10.160	-7.749	2.919	-14.126	73.129	-41.676	-25.320	-5.510	1.510
-75.080	-92.778	-46.730	-34.212	23.943	-16.659	81.217	11.9.200	79.050	10.523
73.023	14.920	75.617	-30.291	-20.367	43.240	-6.115	7.594	31.670	48.124
-23.349	-34.672	-58.297	-10.030	14.916	-60.110	-2.308	-6.719	-89.912	6.695
-105.349	-63.030	-91.783	-1.6.640	-46.611	117.161	-16.312	-27.016	-26.081	34.350
105.346	45.890	79.076	-22.228	-11.633	-22.268	23.719	-51.710	25.510	32.708
-26.195	87.482	48.190	-14.767	-6.605	-125.504	-30.093	-16.482	152.710	-5.441
-27.506	-127.707	-19.982	-15.870	-125.504	-125.504	-76.923	-122.349	45.904	-26.825
62.184	49.780	5.031	-10.098	5.006	4.985	52.074	124.123	-16.971	-16.401
-15.381	-10.496	7.173	30.291	-5.173	-12.395	-59.540	40.002	-6.511	22.616
70.772	-79.351	-67.289	-9.043	1.753	-22.570	-10.055	-16.373	-13.619	40.269
-6.071	10.361	3.062	16.630	4.848	22.570	6.619	55.405	-67.452	-11.610
-4.5104	-32.060	-73.536	7.175	57.142	-21.433	-35.640	-95.190	-152.413	-13.616
-10.011	129.337	92.452	10.717	162.549	-20.150	-17.197	-25.925	-67.936	-67.335

## **SONUÇLAR VE ÖNERİLER**

- 1.İstanbul ilinde inşa edilecek, normal önemdeki yapılar ile, önemli yapılar ve eğer inşa edilirse bir nükleer santral için kabul edilmesi uygun olacak maksimum deprem manyitüdleri ile, kaya zeminler için maksimum yer ivmelerinin ne olacağı tayin edilmiştir.  
Maksimum zemin ivmesi normal yapılarda  $a = 0.17g$ , önemli yapılarda  $a = 0.26g$  ve bir nükleer santral için  $a = 0.45g$  olarak tahmin edilmiştir.
- 2.Son 99 yıllık sismik tarihçe esas alınarak ve yıllık ekstrem değerler kullanılarak Gumbel metoduna göre yapılan ihtimaller hesabı, muhtemel şiddetli bir depremin maksimum manyitüdünü  $M = 7.79$  olarak vermiştir. Son 99 yıl içinde gerçekten meydana gelen en büyük depremin manyitüdü ise  $M = 7.75'$  dir. Böylece, gerçek olay ile ihtimaller hesabının büyük bir uyuşum içinde olduğu anlaşılmıştır.
- 3.Normal yapılar için yıllık risk değeri her ne kadar Amerika Birleşik Devletleri'nde % 10 kabul ediliyorsa da, deprem yönetmelikleri ile aynı paralelde kalabilmek amacıyla, yıllık risk normal yapılar için % 15 kabul edilmiştir. Yıllık risk seçildikten sonra, maksimum deprem manyitüdünün ne olacağı kendiliğinden ortaya çıkmaktadır. Ancak, yapının ekonomik ömrünün süresine göre, bu maksimum depremin tekrarlanma peryodu değişmektedir.
- 4.Önerilen maksimum yer ivmeleri kaya cinsi zeminler içindir. Kayma dalga hızı 700 m/saniye'den daha az olan yumuşak ve tabakalı zeminlerin yüzündeki ivmelerin tayini için usulüne göre, zemin büyütme analizleri yapılmalıdır.
- 5.İstanbul ili için sismotektonik yöre olarak sadece Marmara denizi ortalarında batıdan doğuya uzanan ve kuzey Anadolu fay hattını içeren dar bir şerit gözönüne alınmıştır. Romanya'nın Karpatlar yoresindeki orta sıglıktaki bir depremden veya Ege bölgesinden gelebilecek uzak orijinli bir depremin küçük ivmeli fakat yüksek peryotlu dalgaları için İstanbul'da yapılar ayrıca tahkik edilmelidir.
- 6.Dinamik analiz yolu ile bir yapının depreme karşı davranışını incelerken, şüphesiz en büyük yer ivmesinin yanısıra, deprem hareketinin frekans muhtevası ve depremin süresi de gözönünde bulundurulmalıdır.
- 7.Normal yapılarda % 15 yıllık deprem riski için bulunan 0.17 g maksimum yer ivmesine tekabül eden elastik ivme davranış spektrumu tayin edilmiştir. Ayrıca, bu spektruma uyacak suni bir deprem kaydının ivme ordinatları hesaplanmış ve tablo halinde verilmiştir. Böylece, dinamik analiz yolu ile yapıların davranışlarını hesaplayacak olanlara İstanbul bölgesi için gerekli deprem doneleri verilmiş olmaktadır.

## KAYNAKLAR

- 1."Reactor Site Criteria" Federal Register, Vol. 38, No.218, Part 100, United States Nuclear Regulatory Commission, Washington, D.C., U.S.A., November, 1973.
- 2.Ergin, K., Güçlü, U., and Uz, Z., "A Catalogue of Earthquakes for Turkey and Surrounding Area (11 AD-1964 AD)", Technical University of Istanbul, Faculty of Mining Engineering, Pub. No.24, 1967.
- 3.Ergin, K., Güçlü, U., and Aksay, G., "A Catalogue of Earthquakes for Turkey and Surrounding Area (1965-70)", Technical University of Istanbul, Faculty of Mining Engineering, Pub. No.28, 1971.
- 4.UNDP/UNESCO Survey of the Seismicity of the Balkan Region, Catalogue of Earthquakes, Part I and II, UNESCO, Skopje, 1974.
- 5.Gumbel, E.J., "Statistics of Extremes", Columbia University Press, N.Y., U.S.A.
- 6.Gutenberg, B., and Richter, C.F., "Earthquake Magnitude, Intensity, Energy and Acceleration", Bull. Seism. Soc. of America, Vol. 32, No. 3, July.
- 7.Schnabel, P., and Seed, H.B., "Acceleration in Rock for Earthquake in the Western United States", Bull.Seism.Soc.Amer.,63,pp.501-516.
- 8.Kreyszig, E., "Advanced Engineering Mathematics", John Wiley and Sons Inc., 1967.
- 9.Tezcan, S.S., "Estimation of Design Earthquake Ground Motion", Proceedings of the VIth Unesco Regional Seminar on Earthquake Engineering, Primorsko, Bulgaria, Sept. 2-15, 1978. Boğaziçi Üniversitesi, DMAE Dahili Rapor No. 78-20E.
- 10.Algermissen, S.T., and Perkins, D.M., "A Probabilistic Estimate of Maximum Acceleration in Rock in the Contiguous United States", U.S. Geological Survey, Open File Report 76-416, 1976.
- 11.Schnabel, P.B., Lysmer, J., and Seed, H.B., "SHAKE, A Computer Program for Earthquake Response Analysis of Horizontally Layered Sites", Earthquake Engineering Research Center, Report EERC 72-12, Univ. of Calif., Berkeley, U.S.A.
- 12.Tezcan, S.S., and İpek, M., "Shear Wave Propogation in Layered Soils", Internal Report, Department of Civil Engineering, Boğaziçi University, İstanbul.
- 13.Katayama, T., Iwasaki, T., and Saeki, M., "Prediction of Acceleration Response Spectra for Given Earthquake Magnitude, Epicentral Distance and Site Conditions", Bulletin of Earthquake Resistance Structure Research Center, No.11, Dec. 1977, The Institute of Industrial Science, University of Tokyo.
- 14.Gasparini, D.A., and Vanmercke, E.H., "Simulated Earthquake Motions Compatible with Prescribed Response Spectra", Department of Civil Engineering, M.I.T., Publication No. R76-4, January, 1976.
- 15.Tezcan,S, Acar,Y, ve Çivi, A."İstanbul İçin Deprem Riski Analizi" Deprem Araştırma Enstitüsü Bületeni, Cilt 7, Sayı 26, ss.5-34